

# 伊犁天山 160 份野苹果种质资源表型性状的遗传多样性分析

张学超<sup>1</sup>,任海龙<sup>2</sup>,唐式敏<sup>1</sup>,朱玲<sup>1</sup>,张胜军<sup>1</sup>,冉昇<sup>1</sup>

(<sup>1</sup>伊犁哈萨克自治州农业科学研究所,伊宁 835000;<sup>2</sup>广州市农业科学研究院,广州 510308)

**摘要:**本研究对伊犁天山地区 160 份新疆野苹果种质资源,14 个表型性状进行了评价鉴定,并筛选了特异种质。结果表明,14 个表型性状的变异系数为 5.75%~38.44%,平均为 21.78%,果实硬度的变异系数最大,果形指数的变异系数最小;Shannon-Weiner 多样性指数分布为 1.95~2.06,平均为 2.01,多数性状具有丰富的遗传多样性;160 份野苹果种质资源的隶属函数均值分布在 0.202~0.674 之间,平均为 0.486,其中 20 份资源的隶属函数均值大于 0.6,在单果重、果实硬度、果实纵径、果实横径等方面有明显优势;相关性分析表明,单果重与果实纵径、横径、果梗粗、果实硬度呈显著正相关,与可溶性固体物含量和果梗长呈显著负相关;主成分分析结果表明,5 个主成分因子的累计贡献率达 79.258%,其中第 1 主成分与果实在性状有关,第 2 主成分与叶片性状有关,第 3 主成分与枝条性状有关,第 4 主成分与果实在性状和枝条性状有关,第 5 主成分与果梗性状有关;依据 14 个表型性状可将 160 份种质资源分为 6 个类群,其中,第Ⅱ类群的单果重最大,第Ⅲ类群的果实硬度最大,第Ⅴ类群的可溶性固体物含量最大。本研究结果可为新疆野苹果种质资源的保护和利用提供重要参考。

**关键词:**野苹果;种质资源;表型性状;遗传多样性

## Genetic Diversity Analysis of Phenotypic Traits in 160 Germplasm Resources of *Malus sieversii* ( Ledeb. ) M. Roem. from Tianshan in Ili

ZHANG Xue-chao<sup>1</sup>, REN Hai-long<sup>2</sup>, TANG Shi-min<sup>1</sup>, ZHU Ling<sup>1</sup>, ZHANG Sheng-jun<sup>1</sup>, RAN Bian<sup>1</sup>

(<sup>1</sup>Institute of Agricultural Sciences of Ili Kazakh Autonomous Prefecture, Yining 835000;

<sup>2</sup>Guangzhou Academy of Agricultural Sciences, Guangzhou 510308)

**Abstract:** In this study, 14 phenotypic traits of 160 wild apple (*Malus sieversii* ( Ledeb. ) M. Roem.) germplasm resources in Tianshan area of Ili were evaluated, from which elite germplasms were screened. The results showed that the variation coefficients of the 14 phenotypic traits ranged from 5.75% to 38.44%, with an average of 21.78%, the variation coefficient of fruit hardness was the highest, and the fruit shape index was the lowest. The Shannon-Weiner diversity index ranged from 1.95 to 2.06, with an average of 2.01, and most of the traits were rich in genetic diversity. The mean of membership function of the 160 germplasm resources ranged from 0.202 to 0.674, with a mean value of 0.486, among which 20 resources had the value greater than 0.6, with obvious advantages in fruit weight, fruit hardness and fruit size. Correlation analysis showed that the fruit weight was significantly positively correlated with fruit length, fruit diameter, stalk diameter and fruit hardness, and significantly negatively correlated with soluble solids content and stalk length. The results of principal component analysis showed that the cumulative contribution rate of 5 principal component factors was 79.258%, among

收稿日期:2021-04-15 修回日期:2021-05-07 网络出版日期:2021-05-21

URL: <http://doi.org/10.13430/j.cnki.jpgr.20210415002>

第一作者研究方向为果树种质资源保护与利用, E-mail: zhangxuechao678@163.com

通信作者:任海龙,研究方向为作物遗传育种, E-mail: renhailong\_2006@163.com

基金项目:农作物种质资源保护与利用专项(19200380)

Foundation project: Earmarked Fund for Protection and Utilization of Crop Germplasm Resources (19200380)

which the first principal component was related to fruit traits, the second principal component was related to leaf traits, the third principal component was related to branch traits, the fourth principal component was related to fruit traits and branch traits, and the fifth principal component was related to fruit stalk traits. Based on the 14 phenotypic traits, the 160 germplasm resources were divided into 6 groups, among which group II had the highest fruit weight, group III had the highest fruit hardness, and group V had the highest soluble solids content. The results of this study would provide important references for conservation and utilization of the wild apple germplasm resources.

**Key words:** *Malus sieversii* ( Ledeb. ) M. Roem.; germplasm resources; phenotypic traits; genetic diversity

新疆野苹果 (*Malus sieversii* ( Ledeb. ) M. Roem.) 又名塞威氏苹果或天山苹果, 是蔷薇科 (Rosaceae) 苹果亚科 (Maloideae) 苹果属 (*Malus* Mill.) 植物<sup>[1-2]</sup>, 主要分布于环天山山脉的中国新疆伊犁州、吉尔吉斯斯坦伊塞克湖州、哈萨克斯坦塔尔迪库尔干州和阿拉木图州等地<sup>[3]</sup>。在我国伊犁地区则主要分布在巩留县、新源县和霍城县的野果林内<sup>[4]</sup>。前人研究认为栽培苹果 (*Malus domestica* ( Suckow ) Borkh.) 是 4000~10000 年前, 由天山山脉的野苹果 *M. sieversii* ( Ledeb. ) M. Roem. 驯化而来, 并沿古丝绸之路自中亚向西欧交流, 经过不断演化最后形成了当今的栽培苹果<sup>[5]</sup>。全基因组测序结果表明, 栽培苹果 (*M. domestica* ( Suckow ) Borkh.) 基因组中有 28%~40% 来源于新疆野苹果 (*M. sieversii* ( Ledeb. ) M. Roem.), 有 25%~37% 源自欧洲森林苹果 (*M. sylvestris* Mill.), 栽培苹果的杂合基因组中同时源自于两个祖先种的占了 23%, 其中栽培苹果的果实大小主要遗传自新疆野苹果<sup>[6]</sup>, 说明新疆野苹果在现代栽培苹果的驯化过程中起着举足轻重的作用。

新疆野苹果是我国经济林资源中唯一天然的基因库, 也是世界野苹果基因库的重要组成部分, 具有重要的科研和保护价值<sup>[7]</sup>。主要表现在:(1) 新疆野苹果的变异类型十分丰富, 对于栽培苹果的良种繁育、新品种培育以及栽培苹果的起源及演变规律研究都有非常重大的意义<sup>[1,8]</sup>。(2) 新疆野苹果具有抗寒、抗旱、耐病虫和耐盐碱等优良抗逆性状, 同时又有亲和力强和种源丰富的特点<sup>[9-10]</sup>。(3) 新疆野苹果果实中维生素含量以及生物活性物质普遍高于栽培品种, 营养价值非常高<sup>[11-12]</sup>。(4) 新疆野苹果作为砧木是快速扩大栽培苹果面积的重要途径<sup>[1]</sup>。(5) 新疆野苹果还可作为优良的园林绿化树种<sup>[13]</sup>。因此, 本研究以伊犁天山地区的 160 份野苹果种质资源为材料, 基于 14 个表型性状进行了遗传多样性的鉴定评价, 对于今后原生地野苹果资源的保护, 充分发挥伊犁野苹果资源的特性和潜力具有十分重要的意义。

## 1 材料与方法

### 1.1 试验材料

试验材料来自国家果树种质新疆野苹果种质资源圃, 共 160 份。所用材料于 2010-2012 年收集自新疆伊犁天山野果林, 其中巩留县 60 份, 霍城县 40 份, 新源县 60 份。考察收集的种质资源采用芽接的方式进行保存, 砧木为长势一致的新疆野苹果实生苗, 嫁接苗 2013 年开始结果, 2017 年稳定结果。试验材料的具体信息见表 1。新疆伊犁野苹果种质资源圃位于伊宁市东郊。资源栽植区的土壤为灰钙土, 土壤 pH 值为 7.83, 土壤有机质含量 21.2 g/kg, 全氮含量 0.52 g/kg, 全磷含量 2.65 g/kg, 碱解氮含量 61.35 mg/kg, 速效磷含量 36.67 mg/kg, 速效钾含量 165.35 mg/kg。

### 1.2 试验方法

本试验于 2019-2020 年连续 2 年对野苹果种质资源的果实、枝条和叶片的表型性状进行测定。参照《苹果种质资源描述规范和数据标准》<sup>[14]</sup> 的方法, 调查的指标有单果重、果梗粗、果梗长、可溶性固形物含量、果实硬度、果实纵径、果实横径、果形指数、一年生枝条长度、一年生枝条节间长度、一年生枝条粗度、叶柄长度、叶片长度和宽度等。

通过 Excel 2017 处理各性状的数据, 并计算各性状的最大值、最小值、平均值、标准差、变异系数和多样性指数。采用 DPS16.05 数据处理系统进行相关性分析、主成分分析和系统聚类分析(参数设置为: 标准化转换——欧氏距离——离差平方和法)。Shannon-Weiner 多样性指数 ( $H'$ ): 先计算试验材料总体平均数 ( $\bar{X}$ ) 和标准差 ( $\sigma$ ), 然后划分为 10 级, 从第一级 [ $X_i < (\bar{X} - 2\sigma)$ ] 到第十级 [ $X_i > (\bar{X} + 2\sigma)$ ], 每  $0.5\sigma$  为一级, 通过公式  $H' = - \sum P_i \ln P_i$  (其中  $P_i$  为某一性状在第  $i$  个级别出现的频率) 计算各性状的 Shannon-Weiner 多样性指数 ( $H'$ )<sup>[15]</sup>。隶属函数  $R(X_i) = (X_i - X_{\min}) / (X_{\max} - X_{\min})$ ,  $X_i$  为指标测定值,  $X_{\max}$ 、 $X_{\min}$  为所有参试材料某一指标的最大值和最小值<sup>[16-17]</sup>。

表1 试验材料名称及来源

Table 1 Materials and their sources

编号 Number	名称 Name	来源 Source									
1	GB-2	巩留	41	GJS-6	巩留	81	HDM-29	霍城	121	XY-29	新源
2	GB-3	巩留	42	GJS-7	巩留	82	HDM-30	霍城	122	XY-30	新源
3	GB-4	巩留	43	GJS-8	巩留	83	HDM-34	霍城	123	XY-31	新源
4	GB-5	巩留	44	GJS-9	巩留	84	HDM-35	霍城	124	XY-34	新源
5	GB-6	巩留	45	GJS-10	巩留	85	HDM-36	霍城	125	XY-38	新源
6	GB-7	巩留	46	GJS-11	巩留	86	HDM-37	霍城	126	XY-39	新源
7	GB-8	巩留	47	GJS-12	巩留	87	HDM-38	霍城	127	XY-41	新源
8	GB-9	巩留	48	GJS-13	巩留	88	HDM-39	霍城	128	XY-42	新源
9	GB-10	巩留	49	GJS-14	巩留	89	HDM-40	霍城	129	XY-43	新源
10	GB-12	巩留	50	GJS-15	巩留	90	HDM-41	霍城	130	XY-44	新源
11	GB-13	巩留	51	GJS-16	巩留	91	HDM-42	霍城	131	XY-45	新源
12	GB-14	巩留	52	GJS-17	巩留	92	HDM-46	霍城	132	XY-46	新源
13	GB-15	巩留	53	GJS-18	巩留	93	HDM-47	霍城	133	XY-47	新源
14	GB-16	巩留	54	GJS-19	巩留	94	HDM-48	霍城	134	XY-48	新源
15	GB-17	巩留	55	GJS-20	巩留	95	HG-1	霍城	135	XY-49	新源
16	GB-18	巩留	56	GQ-1	巩留	96	HG-2	霍城	136	XY-51	新源
17	GB-19	巩留	57	GX-1	巩留	97	HG-3	霍城	137	XY-53	新源
18	GB-20	巩留	58	GX-2	巩留	98	HG-4	霍城	138	XY-54	新源
19	GB-21	巩留	59	GX-3	巩留	99	HG-5	霍城	139	XY-55	新源
20	GB-22	巩留	60	GX-4	巩留	100	HG-6	霍城	140	XY-56	新源
21	GB-23	巩留	61	HDM-1	霍城	101	MEG-6	新源	141	XY-57	新源
22	GB-24	巩留	62	HDM-5	霍城	102	XY-2	新源	142	XY-58	新源
23	GB-25	巩留	63	HDM-7	霍城	103	XY-3	新源	143	XY-61	新源
24	GD-3	巩留	64	HDM-11	霍城	104	XY-5	新源	144	XY-62	新源
25	GD-5	巩留	65	HDM-12	霍城	105	XY-6	新源	145	XY-63	新源
26	GD-7	巩留	66	HDM-13	霍城	106	XY-7	新源	146	XY-65	新源
27	GD-8	巩留	67	HDM-14	霍城	107	XY-8	新源	147	XY-67	新源
28	GD-9	巩留	68	HDM-15	霍城	108	XY-9	新源	148	XY-68	新源
29	GD-10	巩留	69	HDM-16	霍城	109	XY-10	新源	149	XY-69	新源
30	GD-11	巩留	70	HDM-17	霍城	110	XY-11	新源	150	XY-75	新源
31	GD-12	巩留	71	HDM-18	霍城	111	XY-12	新源	151	XY-76	新源
32	GD-14	巩留	72	HDM-19	霍城	112	XY-16	新源	152	XY-77	新源
33	GD-15	巩留	73	HDM-20	霍城	113	XY-17	新源	153	XY-79	新源
34	GD-16	巩留	74	HDM-21	霍城	114	XY-18	新源	154	XY-82	新源
35	GD-17	巩留	75	HDM-22	霍城	115	XY-20	新源	155	XY-85	新源
36	GD-18	巩留	76	HDM-23	霍城	116	XY-21	新源	156	XY-87	新源
37	GD-25	巩留	77	HDM-25	霍城	117	XY-23	新源	157	XY-89	新源
38	GD-26	巩留	78	HDM-26	霍城	118	XY-26	新源	158	XY-90	新源
39	GJS-3	巩留	79	HDM-27	霍城	119	XY-27	新源	159	XY-95	新源
40	GJS-5	巩留	80	HDM-28	霍城	120	XY-28	新源	160	苹果王	新源

## 2 结果与分析

### 2.1 野苹果种质资源表型性状的多样性分析

由表2可知,160份野苹果种质资源的14个表型性状差异明显,变异系数为5.75%~38.44%,平均为21.78%,其中果实硬度的变异系数最大,为38.44%,其次为单果重的变异系数,为38.28%,表明这2个表型性状具有较大的离散程度。果形指数

的遗传变异程度最低,变异系数仅为5.75%。14个表型性状的遗传多样性指数 $H'$ 分布在1.95~2.06之间,平均遗传多样性指数为2.01,其中果实纵径的遗传多样性指数最高,为2.06,其次为单果重、果实横径、果实硬度,最小的是一年生枝条长度和一年生枝条节间长度。综合各表型性状的变异系数和遗传多样性指数,单果重和果实硬度呈现出明显的遗传差异性。

表2 野苹果种质资源表型性状变异情况

Table 2 Phenotypic variation of traits of the wild apple germplasm resources

性状 Trait	最大值 Max.	最小值 Min.	平均值 Mean	极差 Range	标准差 SD	变异系数(%) CV	多样性指数 $H'$
单果重(g)Fruit weight	56.56	5.88	25.26	50.68	9.67	38.28	2.05
果梗粗(mm)Stalk diameter	2.79	0.63	1.60	2.17	0.32	20.28	2.01
果梗长(mm)Stalk length	34.35	6.64	18.41	27.71	5.00	27.17	2.04
可溶性固体物含量(%)Soluble solids content	14.93	7.15	11.27	7.78	1.33	11.80	2.04
果实硬度(kg/cm <sup>2</sup> )Fruit hardness	10.38	1.50	4.94	8.88	1.90	38.44	2.04
果实纵径(mm)Fruit length	46.35	20.71	33.67	25.64	5.04	14.96	2.06
果实横径(mm)Fruit diameter	53.43	25.23	39.85	28.20	5.85	14.69	2.05
果形指数Fruit shape index	1.00	0.69	0.85	0.30	0.05	5.75	2.02
一年生枝条长度(cm)Length of 1-year-old branch	38.60	10.40	18.91	28.20	5.37	28.39	1.95
一年生枝条节间长度(cm)Internode length of 1-year-old branch	3.03	0.62	2.18	2.41	0.44	19.99	1.95
一年生枝条粗度(mm)Diameter of 1-year-old branch	5.22	1.12	3.29	4.10	0.67	20.31	1.98
叶柄长度(mm)Petiole length	35.94	6.07	21.91	29.87	5.02	22.92	2.00
叶片长度(mm)Leaf length	99.72	16.16	69.73	83.56	14.59	20.93	1.97
叶片宽度(mm)Leaf width	58.12	10.35	41.42	47.77	8.70	21.01	1.98

### 2.2 野苹果种质资源隶属函数分析

通过野苹果各性状隶属函数的平均值(详见<http://doi.org/10.13430/j.cnki.jpgr.20210415002>,附表1),可以评价160份野苹果种质资源综合性状的优劣,再根据具体性状的隶属函数均值,确定主要优势性状。本研究中160份野苹果种质资源的隶属函数均值介于0.202~0.674之间,隶属函数均值大于0.6的有20份资源,其中霍城的有11份,新源的有6份,巩留的有3份,这些资源在单果重、果实硬度、果实纵径、果实横径等方面有明显优势;隶属函数均值介于0.5~0.6之间的有82份,其中巩留的有26份,霍城的有22份,新源的有34份;隶属函数均值介于0.4~0.5之间的有43份,其中巩留的有18份,霍城的有7份,新源的有18份;隶属函数均值介于0.2~0.4之间的有15份,其中巩留的有13份,新源的有2份,这些隶属函数均值低的材料表型性状不具有优势。

### 2.3 野苹果种质资源表型性状的相关性分析

14个表型性状相关性分析(表3)表明,单果重与果实纵径、果实横径、果实硬度、果梗粗、一年生枝条节间长度、叶片长度和宽度呈显著正相关,与可溶性固体物含量和果梗长呈显著负相关。果梗粗与果实硬度、果实纵径、果实横径、一年生枝条长度、一年生枝条节间长度、叶片长度和宽度呈显著正相关,与果梗长和可溶性固体物含量呈显著负相关。果梗长与果实硬度、果实纵径、果实横径、一年生枝条节间长度、叶片长度和宽度呈显著负相关。可溶性固体物含量与果实硬度、果实纵径、果实横径呈显著负相关。果实硬度与果实纵径、果实横径、一年生枝条长度、一年生枝条节间长度、一年生枝条粗度、叶片长度和宽度呈显著正相关,与果形指数呈显著负相关。综合相关性分析的结果可以看出,单果重、果实硬度、果实纵径和果实横径这些高隶属函数均值材料的特征性状,相互间具有极显著的正相关性,同时这4个表型性状也是遗传多样性最丰富的性状。

表 3 野苹果种质资源各性状的相关性  
Table 3 Correlation between the traits of wild apple germplasm resources

性状 Trait	单果重 Fruit weight	果梗粗 Stalk diameter	果梗长 Stalk length	可溶性固形物含量 Soluble solids content	果实硬度 Fruit hardness	果实纵径 Fruit length	果实横径 Fruit diameter	果形指数 Fruit shape index	一年生枝条长度 Length of 1-year-old branch	一年生枝条粗度 Diameter of 1-year-old branch	一年生枝条间长度 Length of Internode of 1-year-old branch	一年生枝条直径 Diameter of Petiole of 1-year-old branch	一年生枝条叶片长度 Length of Leaf of 1-year-old branch	一年生枝条叶片宽度 Width of Leaf of 1-year-old branch
	1.000													
单果重 Fruit weight		0.560**			0.403**	-0.255**	-0.265**	0.102	0.116	0.116	0.116	0.116	0.116	0.116
果梗粗 Stalk diameter	0.560**		1.000		0.515**	-0.217**	-0.351**	0.098	0.100	0.100	0.100	0.100	0.100	0.100
果梗长 Stalk length	-0.190*	-0.381**		1.000	0.544**	-0.228**	-0.366**	0.095	0.100	0.100	0.100	0.100	0.100	0.100
可溶性固形物含量 Soluble solids content	-0.342**	-0.205**		0.100	0.513**	0.403**	-0.255**	0.102	0.116	0.116	0.116	0.116	0.116	0.116
果实硬度 Fruit hardness	0.931**	0.515**	-0.217**		0.962**	0.544**	-0.228**	0.095	0.100	0.100	0.100	0.100	0.100	0.100
果实纵径 Fruit length	0.931**	0.515**	-0.217**		0.962**	0.544**	-0.228**	0.095	0.100	0.100	0.100	0.100	0.100	0.100
果实横径 Fruit diameter	0.962**	0.544**	-0.228**		0.938**	0.498**	-0.230**	0.095	0.100	0.100	0.100	0.100	0.100	0.100
果形指数 Fruit shape index	-0.058	-0.050	0.018		0.114	0.178*	-0.149	-0.047	0.122	0.122	0.122	0.122	0.122	0.122
一年生枝条长度 Length of 1-year-old branch	0.187*	0.185*	-0.196*		0.114	0.178*	-0.149	-0.047	0.212**	0.212**	0.212**	0.212**	0.212**	0.212**
一年生枝条粗度 Diameter of 1-year-old branch	0.060	0.053	-0.068		0.060	0.053	-0.068	-0.088	0.159*	0.159*	0.159*	0.159*	0.159*	0.159*
一年生枝条间长度 Internode length of 1-year-old branch									0.194*	0.194*	0.194*	0.194*	0.194*	0.194*
一年生枝条粗度 Diameter of 1-year-old branch									0.084	0.084	0.084	0.084	0.084	0.084
叶柄长度 Petiole length	0.149	0.149	-0.144		0.149	0.149	-0.144	-0.033	0.122	0.122	0.122	0.122	0.122	0.122
叶片长度 Leaf length	0.223**	0.196*	-0.198*		0.177*	0.202*	-0.210**	-0.081	0.232**	0.232**	0.232**	0.232**	0.232**	0.232**
叶片宽度 Leaf width	0.177*	0.202*	-0.210**		0.178*	0.178*	-0.210**	-0.081	0.183*	0.183*	0.183*	0.183*	0.183*	0.183*

\*代表在 0.05 水平上显著相关; \*\*代表在 0.01 水平上显著相关  
Correlation significant at  $P<0.05$ , \*\*Correlation significant at  $P<0.01$

## 2.4 野苹果种质资源主成分分析

以特征值大于1.0为标准提取主成分显示(表4),在14个主成分中,前5个累计贡献率达79.258%,说明前5个主成分基本可以代表原始变量的大部分信息。第1主成分的特征值为4.762,贡献率最大,为34.016%,作用较大的性状包括果实横径、单果重、果实纵径,主要反映的是果实性状指标;第2主成分特征值为2.787,贡献率为19.907%,作用比较大的性状分别为叶片宽度、叶柄长度、叶

片长度,主要反映的是叶片性状指标;第3主成分特征值为1.437,贡献率为10.263%,主要性状分别为一年生枝条长度、一年生枝条粗度、果形指数,主成分反映的是枝条性状指标;第4主成分特征值为1.096,贡献率为7.826%,主要性状为果形指数、一年生枝条长度、果实纵径,主要反映的是果实性状和枝条性状;第5主成分特征值为1.015,贡献率为7.247%,主要性状为果梗长、果梗粗、可溶性固形物含量,主要反映的是果梗性状指标。

表4 参试材料各性状的主成分载荷与贡献率

Table 4 Factor loading matrix and contribution rate of traits of the test materials

性状 Trait	因子1 Factor 1	因子2 Factor 2	因子3 Factor 3	因子4 Factor 4	因子5 Factor 5
单果重 Fruit weight	0.346	-0.337	0.101	0.026	0.142
果梗粗 Stalk diameter	0.276	-0.206	-0.016	-0.085	-0.379
果梗长 Stalk length	-0.180	0.032	0.080	0.142	0.778
可溶性固形物含量 Soluble solids content	-0.167	0.176	0.010	-0.101	-0.286
果实硬度 Fruit hardness	0.281	-0.168	-0.172	-0.249	0.017
果实纵径 Fruit length	0.342	-0.317	0.171	0.252	0.076
果实横径 Fruit diameter	0.356	-0.331	0.036	-0.041	0.161
果形指数 Fruit shape index	-0.020	0.039	0.366	0.795	-0.225
一年生枝条长度 Length of 1-year-old branch	0.147	0.060	-0.619	0.357	-0.116
一年生枝节间长度 Internode length of 1-year-old branch	0.295	0.302	-0.261	0.136	0.039
一年生枝条粗度 Diameter of 1-year-old branch	0.198	0.263	-0.386	0.167	0.225
叶柄长度 Petiole length	0.270	0.365	0.332	-0.081	0.011
叶片长度 Leaf length	0.320	0.363	0.225	-0.105	0.028
叶片宽度 Leaf width	0.312	0.379	0.169	-0.107	0.014
特征值 Numerical value	4.762	2.787	1.437	1.096	1.015
贡献率(%) Contribution rate	34.016	19.907	10.263	7.826	7.247
累计贡献率(%) Total account	34.016	53.923	64.186	72.011	79.258

## 2.5 野苹果种质资源聚类分析

依据14个表型性状进行聚类分析,欧氏距离为17.5处可将160份野苹果种质资源分成6个类群(图1)。

第I类群包括35份种质资源,其中巩留野苹果资源9份,霍城野苹果资源10份,新源野苹果资源16份;该类群是资源数量最多的类群,与其他类群相比较,第I类群没有突出的特点。第II类群包括26份种质资源,其中巩留野苹果资源7份,霍城野苹果资源12份,新源野苹果资源7份;该类群是平均果实横、纵径最大的类群,聚集了绝大部分的大果型种质资源。第III类群包括23份种质资源,其中巩留野苹果资源5份,霍城野苹果资源3份,新源野

苹果资源15份;该类群材料的主要特点是果梗短粗,枝条长,果肉紧实,果形较圆。第IV类群包括34份种质资源,其中巩留野苹果资源11份,霍城野苹果资源10份,新源野苹果资源13份;该类群是一年生枝条平均节间长度、平均叶柄长度、平均叶片长度和平均叶片宽度最大的类群。第V类群包括22份种质资源,其中巩留野苹果资源13份,霍城野苹果资源5份,新源野苹果资源4份;该类群材料主要特点是可溶性固形物含量高,小果类型。第VI类群包括20份种质资源,其中巩留野苹果资源15份,新源野苹果资源5份;该类群是一年生枝条平均长度、一年生枝条节间平均长度、一年生枝条平均粗度、平均叶柄长度、平均叶片长度和平均叶片宽度最小的类群(表5)。

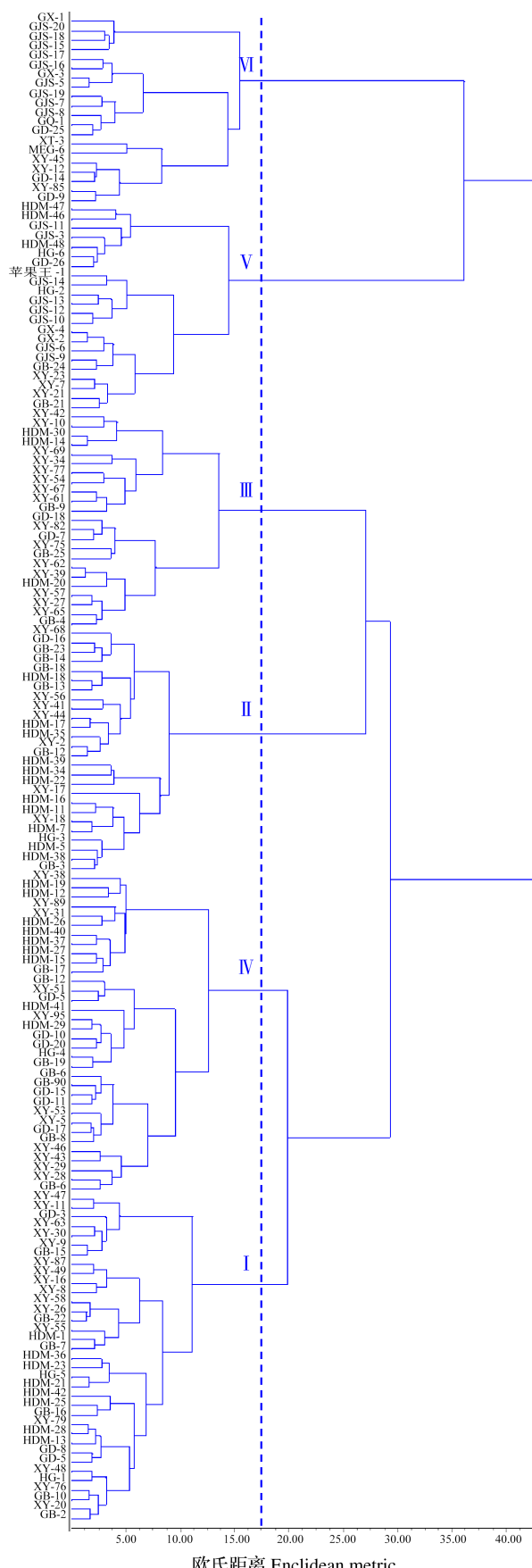


图1 基于表型数据的聚类分析图

Fig.1 Cluster analysis based on phenotypic traits

### 3 讨论

表型性状是遗传物质的最终体现,也是育种工作的基础。尽管现代分子生物学手段为种质资源的研究提供了稳定有效的方法,对于表型性状的调查和分析仍不可缺少,尤其是近些年来受苹果小吉丁虫危害及人类活动的影响,新疆野苹果资源的数量和质量均在急剧下降,已被列为国家濒危二级保护植物<sup>[4, 18-19]</sup>。因此,开展新疆野苹果的遗传多样性研究和保护工作意义重大<sup>[3]</sup>。本研究从160份伊犁天山的野苹果种质资源入手,从表型性状的角度进行系统分析,为有效保护和利用新疆野苹果资源提供了依据。

#### 3.1 新疆野苹果种质资源表型性状的差异分析

本研究分析了160份野苹果资源的14个表型性状,不同表型性状的变异系数依次为:果实硬度(38.44%)、单果重(38.28%)、一年生枝条长度(28.39%)、果梗长(27.17%)、叶柄长度(22.92%)、叶片宽度(21.01%)、叶片长度(20.93%)、一年生枝条粗度(20.31%)、果梗粗(20.28%)、一年生枝条节间长度(19.99%)、果实纵径(14.96%)、果实横径(14.69%)、可溶性固形物含量(11.80%)、果形指数(5.75%)。其中,果实硬度的最小值为1.50 kg/cm<sup>2</sup>,最大值为10.38 kg/cm<sup>2</sup>,多样性指数为2.04;单果重的最小值为5.88 g,最大值为56.56 g,多样性指数为2.05,这2个表型性状表现出了极其丰富的多样性。变异系数最小的性状为果形指数。另外,果实纵径的多样性指数(2.06)最高,一年生枝条长度及节间长度的多样性指数(1.95)最低,仅从多样性指数来看,各性状差别并不是很大。本研究结果与刁永强等<sup>[2]</sup>、闫鹏等<sup>[20]</sup>、王宪璞等<sup>[21]</sup>、刘遵春等<sup>[22]</sup>报道中的新疆野苹果单果重、果实纵径、果实横径、果梗长、果梗粗、叶柄长度、叶片长度、叶片宽度及可溶性固形物含量等形态性状的变异系数基本一致,数值居中,反映出伊犁地区野苹果资源具有丰富的表型多样性。

#### 3.2 新疆野苹果种质资源遗传多样性的综合分析

遗传多样性的评价方法和指标很多,可以从基因型、表型等不同水平进行评价。最近,高源等<sup>[3]</sup>、于少帅等<sup>[23]</sup>分别利用来自叶绿体和细胞核的分子标记对新疆野苹果进行了遗传多样性分析,认为新疆野苹果存在丰富的遗传多样性。表型性状对植物的遗传多样性进行研究被认为是最为直接、简易的方法<sup>[24]</sup>,关于新疆野苹果亦有大量报道<sup>[2, 20-22]</sup>。本

表5 6个类群的表型性状比较  
Table 5 Comparison of phenotypic traits of 6 groups

表型性状 Phenotypic traits	第I类群 Group I				第II类群 Group II				第III类群 Group III				第IV类群 Group IV				第V类群 Group V				第VI类群 Group VI			
	平均值 ± 标准差 $\bar{X} \pm SD$		变异系数 (%) $CV$		平均值 ± 标准差 $\bar{X} \pm SD$		变异系数 (%) $CV$		平均值 ± 标准差 $\bar{X} \pm SD$		变异系数 (%) $CV$		平均值 ± 标准差 $\bar{X} \pm SD$		变异系数 (%) $CV$		平均值 ± 标准差 $\bar{X} \pm SD$		变异系数 (%) $CV$		平均值 ± 标准差 $\bar{X} \pm SD$		变异系数 (%) $CV$	
	平均值 ± 标准差 $\bar{X} \pm SD$	变异系数 (%) $CV$																						
单果重( g ) Fruit weight	27.81 ± 4.24b	15.23	39.13 ± 6.98a	17.84	25.09 ± 4.44bc	17.69	24.54 ± 5.51c	22.45	12.09 ± 3.22e	26.65	18.65 ± 8.71d	46.72												
果梗粗( mm ) Stalk diameter	1.53 ± 0.20b	12.98	1.89 ± 0.32a	16.92	1.83 ± 0.31a	17.20	1.59 ± 0.27b	16.91	1.34 ± 0.23c	17.29	1.36 ± 0.20c	14.97												
果梗长( mm ) Stalk length	18.31 ± 4.10bc	22.40	17.24 ± 3.83c	22.23	13.97 ± 3.77d	27.03	18.55 ± 4.67bc	25.18	19.75 ± 4.61b	23.32	23.49 ± 5.20a	22.14												
可溶性固形物含量( % ) Soluble solids content	10.91 ± 0.92de	8.44	10.55 ± 1.48e	14.03	11.57 ± 0.97abcd	8.41	11.22 ± 1.16cd	10.34	11.96 ± 1.47ab	12.30	11.82 ± 1.63abc	13.75												
果实硬度( kg/cm <sup>2</sup> ) Fruit hardness	5.27 ± 1.51b	28.75	5.48 ± 1.20ab	21.96	6.27 ± 1.51a	24.08	5.66 ± 1.65ab	29.15	2.76 ± 1.31c	47.45	3.27 ± 1.66c	50.79												
果实纵径( mm ) Fruit length	35.99 ± 1.82b	5.07	40.38 ± 2.57a	6.38	33.17 ± 2.90c	8.74	33.10 ± 2.60c	7.86	26.65 ± 3.11e	11.65	30.15 ± 4.80d	15.93												
果实横径( mm ) Fruit diameter	41.81 ± 2.26b	5.41	47.05 ± 2.59a	5.50	40.31 ± 2.67b	6.62	40.20 ± 3.67b	9.13	31.01 ± 3.32d	10.70	35.63 ± 6.10c	17.13												
果形指数 Fruit shape index	0.86 ± 0.04a	4.38	0.86 ± 0.05a	5.54	0.82 ± 0.04b	5.26	0.83 ± 0.04b	4.40	0.86 ± 0.07a	8.28	0.85 ± 0.04ab	4.99												
一年生枝条长度( cm ) Length of 1-year-old branch	16.42 ± 2.85d	17.36	20.22 ± 3.91bc	19.32	25.53 ± 7.01a	27.45	18.60 ± 3.99c	21.43	18.69 ± 4.79cd	25.65	14.72 ± 3.37d	22.87												
一年生枝条节间长度( cm ) Internode length of 1-year-old branch	2.07 ± 0.27c	12.99	2.33 ± 0.27ab	11.40	2.40 ± 0.33a	13.53	2.44 ± 0.30a	12.42	2.19 ± 0.21bc	9.53	1.43 ± 0.45d	31.69												
一年生枝条粗度( mm ) Diameter of 1-year-old branch	3.28 ± 0.59c	17.88	3.24 ± 0.36c	11.24	3.69 ± 0.70a	18.85	3.57 ± 0.53ab	14.87	3.33 ± 0.34bc	10.31	2.43 ± 0.81d	33.25												
叶柄长度( mm ) Petiole length	22.22 ± 3.30b	14.84	22.50 ± 2.71b	12.06	19.53 ± 3.53c	18.05	26.14 ± 3.55a	13.58	23.55 ± 4.28b	18.19	14.32 ± 4.70d	32.81												
叶片长度( mm ) Leaf length	71.24 ± 8.71b	12.22	72.85 ± 7.69b	10.55	65.8 ± 9.10c	13.83	82.23 ± 8.07a	9.81	72.43 ± 10.97b	15.15	43.36 ± 13.07d	30.14												
叶片宽度( mm ) Leaf width	41.92 ± 5.46b	13.02	43.21 ± 5.13b	11.87	40.14 ± 6.15b	15.33	48.50 ± 5.60a	11.54	42.79 ± 5.86b	13.69	26.13 ± 8.06c	30.85												

不同小写字母代表在0.05水平上显著差异  
Different lowercase letters indicate the significant at  $P<0.05$

研究与前人研究的最大不同点是,试验材料是在同一批野苹果砧木上嫁接,待生长稳定一致后进行的调查,相比前人在野苹果原生境进行的表型性状统计,性状的稳定性更高,更能表现出不同材料的遗传特性。本研究对来自伊犁的160份野苹果资源统计分析发现,隶属函数均值大于0.6的有20份资源,这些资源在单果重、果实硬度、果实纵径、果实横径等方面有明显优势,隶属函数均值介于0.2~0.4之间的有15份,其表型性状不具有优势,可以据此筛选野苹果资源。主成分分析法是通过降维的方式,将作物各性状间复杂的关系转化为较少的几个主成分,同时可以排除由于原指标间的相关关系的干扰,而得到广泛应用<sup>[16,25]</sup>,本研究将14个表型指标进行主成分分析,得出前5个主成分累计贡献率达79.258%,其中第1主成分与果实性状有关,第2主成分与叶片性状有关,第3主成分与枝条性状有关,第4主成分与果实性状和枝条性状有关,第5主成分与果梗性状有关,这些特征是造成伊犁天山野苹果种质表型多样化的主要因素。最后,通过系统聚类法将160份种质资源分为6个类群,其中第Ⅱ类群的单果重最大,第Ⅲ类群的果实硬度最大,第Ⅴ类群的可溶性固形物含量最大,各类群之间在表型性状上有明显差异。同时,不同类群间也有一定地理分布倾向,例如第Ⅲ类群包括23份种质资源,来自新源的野苹果资源有15份,占比65%;第Ⅵ类群包括20份种质资源,其中巩留的野苹果资源有15份,占比75%。说明伊犁3个地区的新疆野苹果各自经历着遗传分化但又存在频繁的基因交流<sup>[3]</sup>。

本研究仅针对新疆野苹果种质资源的表型性状进行了分析评价,今后还有待于从分子生物学角度进一步对这些资源进行研究,以期更加客观地评价伊犁野苹果种质资源特性,为新疆野苹果种质资源的保护和利用提供帮助。

## 参考文献

- [1] 王泽华.不同居群新疆野苹果抗寒性研究.乌鲁木齐:新疆农业大学,2017  
Wang Z H. Study on cold resistance of *Malus sieversii* in different populations. Urumqi: Xinjiang Agricultural University, 2017
- [2] 刁永强,许正,闫鹏,陈淑英,张学超,刘君.新疆野苹果资源类型表型性状鉴定及优异资源的初步筛选.经济林研究,2019,37(1):17-24,49  
Diao Y Q, Xu Z, Yan P, Chen S Y, Zhang X C, Liu J. Phenotypic characteristic identification and preliminary selection of excellent resources in *Malus sieversii* resource types. Non-wood Forest Research, 2019, 37(1): 17-24, 49
- [3] 高源,王大江,王昆,丛佩华,张彩霞,李连文,朴继成.新疆野苹果叶绿体DNA变异与遗传进化分析.植物遗传资源学报,2020,21(3):579-587  
Gao Y, Wang D J, Wang K, Cong P H, Zhang C X, Li L W, Piao J C. Chloroplast DNA variation and genetic evolution of *Malus sieversii* ( Ledeb.) M. Roem.. Journal of Plant Genetic Resources, 2020, 21 ( 3 ): 579-587
- [4] 张萍,吕昭智,张鑫,赵想平,张永光.新疆伊犁与哈萨克斯坦新疆野苹果(*Malus sieversii* ( Ledeb.) Roem.)种群年龄结构.干旱区研究,2019,36(4):844-853  
Zhang P, Lv Z Z, Zhang X, Zhao X P, Zhang Y G. Age structure of *Malus sieversii* population in Ili of Xinjiang and Kazakhstan. Arid Zone Research, 2019, 36 ( 4 ): 844-853
- [5] 段楠,白杨,孙海海,王南,马亚明,李明杰,王翔,焦川,Legal N, Mao L Y, Wan S B, Wang K, He T M, Feng S Q, Zhang Z Y, Mao Z Q, Shen X, Chen X L, Jiang Y M, Wu S J, Yin C M, Ge S F, Yang L, Jiang S H, Xu H F, Liu J X, Wang D Y, Qu C Z, Wang Y C, Zuo W F, Xiang L, Liu C, Zhang D Y, Gao Y, Xu Y M, Xu K N, Chao T, Fazio G, Shu H R, Zhong G Y, Cheng L L, Fei Z J, Chen X S. Genome resequencing reveals the history of apple and supports a two-stage model for fruit enlargement. Nature Communication, 2017, 8 ( 2 ): 249
- [6] 孙晓平,焦川,斯万宁格,郝朝,段楠, Khan A, Ban S, Xu K N, Cheng L L, Zhong G Y, Fei Z J. Phased diploid genome assemblies and pan-genomes provide insights into the genetic history of apple domestication. Nature Genetics, 2020, 52 ( 12 ): 1423-1432
- [7] 李杰军,袁朝.依托新疆野苹果资源培育特色经济林产业.内蒙古林业调查设计,2007,30(4):62-63  
Li J J, Yuan C. Relying on Xinjiang wild apple resources to cultivate characteristic economic forest industry. Inner Mongolia Forestry Investigation and Design, 2007, 30 ( 4 ): 62-63
- [8] 秦伟.新疆野苹果繁育特性及种质资源亲缘关系的研究.乌鲁木齐:新疆农业大学,2010  
Qin W. Reproduction characteristics and genetic relationship of germplasm resources for *Malus sieversii*. Urumqi: Xinjiang Agricultural University, 2010
- [9] 文玉珍,徐晖,于玮玮,杨美玲,龙鸿,阎国荣.低温胁迫下新疆野苹果离体叶片生理特性分析.天津农学院学报,2014,21(1):39-42  
Wen Y Z, Xu H, Yu W W, Yang M L, Long H, Yan G R. Physiological analysis of leaves in vitro of *Malus sieversii* under low temperature stress. Journal of Tianjin Agricultural University, 2014, 21 ( 1 ): 39-42
- [10] 李开花,刘香,袁培红,周龙.新疆野苹果砧木嫁接亲和性试验研究.中国园艺文摘,2015,31(5):22-24  
Li K H, Liu X, Yuan P H, Zhou L. Study of graft compatibility on *Malus sieversii* Ledeb. rootstocks. China Horticulture Abstracts, 2015, 31 ( 5 ): 22-24
- [11] 于立洋,左力辉,李秀平,李顺华,王宇攀,张军,杨敏生.4个新疆野苹果优系果品质比较.中国农业科技导报,2017,19(8):33-40  
Yu L Y, Zuo L H, Li X P, Li S H, Wang Y P, Zhang J, Yang M S. Comparison of fruit quality among 4 *Malus sieversii* clones. Journal of Agricultural Science and Technology, 2017, 19 ( 8 ): 33-40
- [12] 郭仲军,刘丽艳,张炜银,臧润国.新疆野苹果资源现状分析

- 及前景展望 // 中国生物多样性保护与研究进展 . 北京: 气象出版社, 2004: 54-61
- Guo Z J, Liu L Y, Zhang W Y, Zang R G. Review on the resource status and future development of wild *Malus sieversii* in Xinjiang//Advances in biodiversity conservation and research in China. Beijing: China Meteorological Press, 2004: 54-61
- [13] 郑点, 吴玉霞, 覃伟铭, 何天明 . 新疆野苹果作为苹果砧木利用的研究进展 . 中国野生植物资源, 2019, 38(2): 56-59, 65
- Zheng D, Wu Y X, Qin W M, He T M. Advance in research on application of *Malus sieversii* as rootstock. Chinese Wild Plant Resources, 2019, 38(2): 56-59, 65
- [14] 王昆, 刘凤之, 曹玉芬 . 苹果种质资源描述规范和数据标准 . 北京: 中国农业出版社, 2005
- Wang K, Liu F Z, Cao Y F. Descriptors and data standard for apple (*Malus* spp. Mill.). Beijing: China Agriculture Press, 2005
- [15] 郝曦煜, 杨涛, 梁杰, 郭文云, 肖焕玉, 王英杰, 马信飞, 刘婷婷, 宗绪晓 . 160 份外引鹰嘴豆种质主要农艺性状的遗传多样性分析 . 植物遗传资源学报, 2020, 21(4): 875-883
- Hao X Y, Yang T, Liang J, Guo W Y, Xiao H Y, Wang Y J, Ma X F, Liu T T, Zong X X. Genetic diversity analysis of major agronomic traits in 160 introduced chickpea (*Cicer arietinum* L.) germplasm resources. Journal of Plant Genetic Resources, 2020, 21(4): 875-883
- [16] 赵孟良, 王丽慧, 任延靖, 孙雪梅, 侯志强, 杨世鹏, 李莉, 钟启文 . 257 份菊芋种质资源表型性状的遗传多样性 . 作物学报, 2020, 46(5): 712-725
- Zhao M L, Wang L H, Ren Y J, Sun X M, Hou Z Q, Yang S P, Li L, Zhong Q W. Genetic diversity of phenotypic traits in 257 Jerusalem artichoke accessions. Acta Agronomica Sinica, 2020, 46(5): 712-725
- [17] 吴欣明, 郭璞, 池惠武, 方志红, 石永红, 王运琦, 刘建宁, 王贊, 王学敏 . 国外紫花苜蓿种质资源表型性状与品质多样性分析 . 植物遗传资源学报, 2018, 19(1): 104-112
- Wu X M, Guo P, Chi H W, Fang Z H, Shi Y H, Wang Y Q, Liu J N, Wang Z, Wang X M. Diversity analysis of phenotypic traits and quality characteristics of alfalfa (*Medicago sativa*) introduced from abroad germplasm resources. Journal of Plant Genetic Resources, 2018, 19(1): 104-112
- [18] 刘忠权, 陈卫民, 许正, 梁巧玲 . 新疆天山西部野苹果林分布与苹果小吉丁虫危害现状研究 . 北方园艺, 2014, 38(17): 121-124
- Liu Z Q, Chen W M, Xu Z, Liang Q L. *Malus sieversii* forest distribution and *Agrilus mali* Matsumura status of damage in the west part of Tianshan Mountains. Northern Horticulture, 2014, 38(17): 121-124
- [19] 苏志豪, 李文军, 曹秋梅, 周晓兵, 张元明 . 新疆野苹果的种群年龄结构与数量动态 . 干旱区研究, 2019, 36(5): 1153-1160
- Su Z H, Li W J, Cao Q M, Zhou X B, Zhang Y M. Age composition and quantitative dynamic status of *Malus sieversii* population. Arid Zone Research, 2019, 36(5): 1153-1160
- [20] 闫鹏, 韩立群, 梅闯, 刁永强, 许正, 张学超, 马凯, 艾沙江·买买提, 王继勋 . 新疆野苹果 (*Malus sieversii* (Ledeb.) M. Roem.) 植物体性状遗传多样性及相关性分析 . 植物遗传资源学报, 2016, 17(4): 683-689
- Yan P, Han L Q, Mei C, Diao Y Q, Xu Z, Zhang X C, Ma K, Aisajan M, Wang J X. Genetic diversity and correlation analysis of botanical characters in Xinjiang wild apple (*Malus sieversii* ( Ledeb. ) M. Roem. ). Journal of Plant Genetic Resources, 2016, 17(4): 683-689
- [21] 王宪璞, 吴玉霞, 何天明 . 新疆野苹果果实若干性状的遗传多样性分析 . 中国野生植物资源, 2016, 35(1): 19-23
- Wang X P, Wu Y X, He T M. Genetic diversity analysis of several fruit traits in *Malus sieversii* (Ldb.) Rome. Chinese Wild Plant Resources, 2016, 35(1): 19-23
- [22] 刘遵春, 苗卫东, 刘大亮, 陈学森 . 新疆野苹果性状的遗传变异及相关性分析 . 果树学报, 2012, 29(4): 530-535
- Liu Z C, Miao W D, Liu D L, Chen X S. Genetic variation and correlation analysis of main characters in *Malus sieversii* resources. Journal of Fruit Science, 2012, 29(4): 530-535
- [23] 于少帅, 赵文霞, 姚艳霞, 张学超, 淮稳霞 . 新疆野苹果和栽培苹果遗传分化与变异特征 . 江苏农业学报, 2020, 36(5): 1274-1281
- Yu S S, Zhao W X, Yao Y X, Zhang X C, Huai W X. Genetic differentiation and variation characteristics of *Malus sieversii* and cultivated apples. Jiangsu Journal of Agricultural Sciences, 2020, 36(5): 1274-1281
- [24] 胡标林, 万勇, 李霞, 雷建国, 罗向东, 严文贵, 谢建坤 . 水稻核心种质表型性状遗传多样性分析及综合评价 . 作物学报, 2012, 38(5): 829-839
- Hu B L, Wan Y, Li X, Lei J G, Luo X D, Yan W G, Xie J K. Analysis on genetic diversity of phenotypic traits in rice (*Oryza sativa*) core collection and its comprehensive assessment. Acta Agronomica Sinica, 2012, 38(5): 829-839
- [25] 董胜君, 孙永强, 陈建华, 卢彩云, 刘权钢, 刘立新 . 野杏无性系表型性状多样性分析及综合评价 . 植物遗传资源学报, 2020, 21(5): 1156-1166
- Dong S J, Sun Y Q, Chen J H, Lu C Y, Liu Q G, Liu L X. Phenotypic traits diversity analysis and comprehensive evaluation of *Armeniaca vulgaris* var. *ansu* clones. Journal of Plant Genetic Resources, 2020, 21(5): 1156-1166

附表 1 160 份野苹果种质资源的隶属函数

Table S 1 Membership function of 160 wild apple germplasm resources

编号 Number	名称 Name	可溶性 固形物 含量 Soluble solids content				果形指 数 Fruit shape index				一年生枝 条长度 Length of 1-year-old branch	一年生枝 节间长度 Internode length of 1-year-old branch	一年生枝 条粗度 Diameter of 1-year-old branch	叶柄长 度 Petiole length	叶片长 度 Leaf length	叶片宽 度 Leaf width	隶属函数均值 Mean of membership function
		单果重 Fruit weight	果梗粗 Stalk diameter	果梗长 Stalk length	果实硬 度 Fruit hardness	果实纵 径 Fruit length	果实横 径 Fruit diameter	Fruit shape index								
1	GB-2	0.420	0.483	0.358	0.403	0.383	0.645	0.584	0.662	0.152	0.484	0.576	0.818	0.689	0.715	0.527
2	GB-3	0.561	0.642	0.193	0.230	0.499	0.692	0.783	0.396	0.187	0.597	0.500	0.761	0.772	0.757	0.541
3	GB-4	0.495	0.523	0.287	0.560	0.602	0.611	0.681	0.415	0.465	0.851	0.449	0.531	0.557	0.493	0.537
4	GB-5	0.396	0.252	0.513	0.533	0.540	0.580	0.544	0.607	0.199	0.616	0.505	0.784	0.551	0.630	0.518
5	GB-6	0.305	0.410	0.576	0.401	0.669	0.344	0.461	0.262	0.425	0.817	0.510	0.671	0.666	0.726	0.517
6	GB-7	0.356	0.577	0.261	0.701	0.540	0.577	0.504	0.684	0.177	0.561	0.444	0.652	0.705	0.777	0.537
7	GB-8	0.320	0.464	0.458	0.416	0.379	0.394	0.459	0.377	0.277	0.853	0.564	0.922	0.751	0.712	0.525
8	GB-9	0.474	0.802	0.278	0.407	0.548	0.525	0.588	0.410	0.667	0.736	0.868	0.562	0.479	0.722	0.576
9	GB-10	0.431	0.486	0.403	0.560	0.363	0.605	0.609	0.531	0.174	0.735	0.603	0.666	0.731	0.603	0.536
10	GB-12	0.557	0.550	0.548	0.262	0.354	0.670	0.693	0.505	0.305	0.659	0.542	0.747	0.657	0.678	0.552
11	GB-13	0.643	0.591	0.567	0.534	0.417	0.710	0.780	0.433	0.624	0.762	0.561	0.558	0.592	0.722	0.607
12	GB-14	0.615	0.623	0.347	0.533	0.548	0.779	0.736	0.633	0.560	0.925	0.571	0.729	0.752	0.830	0.656
13	GB-15	0.316	0.351	0.323	0.401	0.215	0.507	0.490	0.562	0.368	0.719	0.569	0.657	0.660	0.667	0.486
14	GB-16	0.532	0.434	0.569	0.420	0.360	0.519	0.584	0.404	0.148	0.863	0.337	0.739	0.658	0.683	0.518
15	GB-17	0.463	0.671	0.263	0.391	0.545	0.574	0.639	0.416	0.019	0.772	0.454	0.958	0.868	0.855	0.564
16	GB-18	0.527	0.348	0.387	0.576	0.339	0.653	0.747	0.383	0.445	0.996	0.586	0.708	0.572	0.610	0.563
17	GB-19	0.319	0.521	0.390	0.811	0.188	0.383	0.387	0.499	0.220	0.891	0.515	0.770	0.753	0.872	0.537
18	GB-20	0.251	0.389	0.325	0.755	0.711	0.344	0.391	0.401	0.130	0.716	0.515	0.849	0.770	0.814	0.526

19	GB-21	0.147	0.417	0.467	0.566	0.387	0.206	0.227	0.424	0.043	0.634	0.527	0.655	0.537	0.621	0.418	
20	GB-22	0.514	0.416	0.236	0.627	0.537	0.636	0.663	0.494	0.209	0.786	0.533	0.814	0.720	0.763	0.568	
21	GB-23	0.470	0.615	0.366	0.369	0.488	0.775	0.653	0.782	0.237	0.772	0.548	0.786	0.696	0.753	0.593	
22	GB-24	0.089	0.174	0.601	0.492	0.082	0.168	0.169	0.465	0.283	0.688	0.485	0.692	0.626	0.627	0.403	
23	GB-25	0.468	0.662	0.249	0.302	1.000	0.490	0.608	0.303	0.280	0.676	0.466	0.656	0.604	0.633	0.528	
24	GD-3	0.355	0.352	0.543	0.143	0.184	0.510	0.544	0.461	0.168	0.614	0.681	0.759	0.491	0.521	0.452	
25	GD-5	0.270	0.422	0.453	0.660	0.233	0.524	0.416	0.761	0.121	0.614	0.525	0.968	0.903	0.961	0.559	
26	GD-7	0.328	0.486	0.145	0.541	0.507	0.364	0.482	0.267	0.108	0.611	0.539	0.774	0.665	0.717	0.467	
27	GD-8	0.333	0.282	0.677	0.487	0.375	0.482	0.523	0.443	0.193	0.655	0.513	0.819	0.659	0.710	0.511	
28	GD-9	0.377	0.363	0.794	0.502	0.490	0.507	0.552	0.440	0.143	0.325	0.248	0.564	0.446	0.433	0.442	
29	GD-10	0.312	0.351	0.554	0.744	0.471	0.478	0.487	0.506	0.254	0.822	0.561	0.842	0.670	0.780	0.559	
30	GD-11	0.242	0.301	0.454	0.457	0.500	0.431	0.425	0.528	0.222	0.697	0.720	0.873	0.793	0.920	0.540	
31	GD-12	0.310	0.416	0.221	0.452	0.202	0.456	0.456	0.520	0.188	0.905	0.542	1.138	0.985	0.923	0.551	
32	GD-14	0.275	0.320	0.627	0.311	0.317	0.446	0.463	0.483	0.121	0.531	0.439	0.413	0.359	0.365	0.391	
33	GD-15	0.399	0.368	0.327	0.374	0.418	0.549	0.588	0.458	0.263	0.822	0.678	0.873	0.801	0.858	0.555	
34	GD-16	0.697	0.684	0.247	0.330	0.380	0.888	0.852	0.627	0.237	0.772	0.548	0.786	0.696	0.753	0.607	
35	GD-17	0.357	0.518	0.452	0.303	0.396	0.478	0.574	0.339	0.115	0.738	0.644	0.852	0.769	0.866	0.529	
36	GD-18	0.307	0.607	0.000	0.518	0.301	0.366	0.471	0.292	0.374	0.717	0.625	0.712	0.645	0.737	0.477	
37	GD-25	0.141	0.219	0.639	0.580	0.075	0.229	0.204	0.542	0.080	0.531	0.544	0.622	0.387	0.434	0.373	
38	GD-26	0.153	0.342	0.401	0.533	0.077	0.349	0.242	0.767	0.428	0.655	0.612	0.740	0.666	0.634	0.471	
39	GJS-3	0.170	0.260	0.618	0.585	0.082	0.437	0.246	0.987	0.198	0.651	0.626	0.795	0.635	0.638	0.495	
40	GJS-5	0.063	0.306	0.467	0.863	0.098	0.127	0.085	0.576	0.168	0.387	0.424	0.550	0.400	0.430	0.353	
41	GJS-6	0.000	0.329	0.795	0.764	0.065	0.000	0.032	0.329	0.177	0.518	0.493	0.711	0.563	0.554	0.381	
42	GJS-7	0.269	0.322	0.911	0.687	0.058	0.424	0.419	0.528	0.245	0.564	0.602	0.702	0.548	0.589	0.491	
43	GJS-8	0.287	0.417	0.580	0.619	0.056	0.468	0.358	0.767	0.151	0.396	0.386	0.575	0.432	0.446	0.424	
44	GJS-9	0.060	0.236	0.379	0.358	0.068	0.138	0.102	0.560	0.133	0.533	0.520	0.671	0.502	0.510	0.341	

45	GJS-10	0.121	0.244	0.476	0.681	0.056	0.193	0.197	0.463	0.187	0.697	0.671	0.905	0.739	0.687	0.451	
46	GJS-11	0.110	0.225	0.910	0.571	0.071	0.232	0.179	0.616	0.511	0.614	0.749	0.789	0.682	0.783	0.503	
47	GJS-12	0.119	0.196	0.505	0.933	0.053	0.283	0.296	0.462	0.344	0.697	0.651	0.880	0.754	0.786	0.497	
48	GJS-13	0.017	0.293	0.334	0.966	0.049	0.001	0.000	0.424	0.277	0.601	0.608	0.775	0.751	0.781	0.420	
49	GJS-14	0.071	0.313	0.556	0.824	0.062	0.100	0.075	0.521	0.029	0.593	0.415	0.958	0.925	0.871	0.451	
50	GJS-15	0.130	0.275	0.316	0.902	0.111	0.174	0.231	0.330	0.155	0.004	0.000	0.206	0.000	0.000	0.202	
51	GJS-16	0.065	0.278	0.711	0.422	0.062	0.182	0.102	0.692	0.068	0.378	0.328	0.530	0.414	0.428	0.333	
52	GJS-17	0.050	0.248	0.434	0.469	0.087	0.043	0.045	0.430	0.146	0.295	0.318	0.460	0.228	0.246	0.250	
53	GJS-18	0.184	0.337	0.614	0.589	0.069	0.317	0.243	0.679	0.093	0.045	0.023	0.245	0.093	0.067	0.257	
54	GJS-19	0.202	0.263	1.000	1.000	0.115	0.359	0.293	0.660	0.064	0.558	0.555	0.598	0.412	0.440	0.466	
55	GJS-20	0.101	0.319	0.850	0.953	0.109	0.164	0.174	0.441	0.094	0.045	0.023	0.245	0.093	0.067	0.263	
56	GQ-1	0.236	0.322	0.671	0.602	0.000	0.445	0.456	0.497	0.077	0.501	0.499	0.618	0.425	0.441	0.414	
57	GX-1	0.244	0.386	0.594	0.576	0.000	0.319	0.454	0.220	0.000	0.159	0.156	0.347	0.195	0.188	0.274	
58	GX-2	0.140	0.241	0.606	0.803	0.066	0.226	0.256	0.409	0.146	0.576	0.558	0.701	0.536	0.544	0.415	
59	GX-3	0.120	0.318	0.463	0.786	0.091	0.297	0.212	0.706	0.110	0.332	0.349	0.499	0.347	0.362	0.357	
60	GX-4	0.153	0.256	0.389	0.722	0.048	0.217	0.276	0.339	0.175	0.521	0.501	0.694	0.543	0.546	0.384	
61	HDM-1	0.475	0.599	0.266	0.651	0.401	0.607	0.641	0.477	0.181	0.546	0.364	0.751	0.697	0.606	0.519	
62	HDM-5	0.607	0.717	0.175	0.574	0.578	0.690	0.795	0.373	0.279	0.656	0.439	0.795	0.705	0.765	0.582	
63	HDM-7	0.720	0.894	0.511	0.623	0.507	0.861	0.861	0.565	0.351	0.625	0.473	0.853	0.755	0.696	0.664	
64	HDM-11	0.584	0.638	0.241	0.425	0.370	0.736	0.758	0.515	0.390	0.630	0.366	0.692	0.619	0.526	0.535	
65	HDM-12	0.440	0.561	0.646	0.820	0.409	0.577	0.621	0.454	0.362	0.519	0.695	1.004	0.849	0.846	0.629	
66	HDM-13	0.293	0.487	0.682	0.445	0.502	0.479	0.461	0.561	0.376	0.500	0.539	0.809	0.678	0.627	0.531	
67	HDM-14	0.345	0.446	0.349	0.497	0.560	0.493	0.536	0.440	0.782	0.967	0.578	0.886	0.717	0.830	0.602	
68	HDM-15	0.467	0.553	0.188	0.543	0.319	0.609	0.672	0.426	0.355	0.988	0.454	1.028	0.794	0.657	0.575	
69	HDM-16	0.726	0.584	0.336	0.683	0.501	0.839	0.812	0.609	0.389	0.564	0.342	0.815	0.665	0.544	0.601	
70	HDM-17	0.550	0.603	0.332	0.276	0.501	0.685	0.655	0.604	0.450	0.741	0.525	0.714	0.569	0.632	0.560	

71	HDM-18	0.575	0.588	0.498	0.549	0.261	0.687	0.750	0.440	0.539	0.827	0.488	0.778	0.643	0.614	0.588	
72	HDM-19	0.510	0.450	0.278	0.675	0.431	0.615	0.722	0.353	0.656	0.759	0.725	1.109	0.728	0.821	0.631	
73	HDM-20	0.364	0.598	0.120	0.665	0.332	0.571	0.524	0.630	0.681	0.607	0.556	0.663	0.609	0.562	0.534	
74	HDM-21	0.435	0.546	0.381	0.513	0.274	0.707	0.545	0.869	0.128	0.650	0.310	0.825	0.712	0.781	0.548	
75	HDM-22	0.750	0.646	0.442	0.497	0.694	1.000	0.784	0.945	0.224	0.631	0.439	0.687	0.664	0.531	0.638	
76	HDM-23	0.400	0.319	0.574	0.378	0.272	0.603	0.511	0.723	0.319	0.679	0.327	0.729	0.788	0.625	0.518	
77	HDM-25	0.430	0.467	0.769	0.574	0.247	0.565	0.576	0.513	0.234	0.722	0.403	0.842	0.833	0.782	0.568	
78	HDM-26	0.504	0.523	0.497	0.618	0.670	0.593	0.685	0.372	0.202	0.577	0.364	0.844	0.847	0.612	0.565	
79	HDM-27	0.505	0.574	0.401	0.506	0.447	0.602	0.705	0.357	0.348	0.765	0.564	0.904	0.787	0.791	0.590	
80	HDM-28	0.462	0.354	0.541	0.447	0.564	0.618	0.633	0.513	0.408	0.475	0.417	0.805	0.690	0.600	0.538	
81	HDM-29	0.281	0.410	0.316	0.524	0.556	0.400	0.414	0.480	0.298	0.635	0.437	0.849	0.789	0.696	0.506	
82	HDM-30	0.421	0.568	0.239	0.420	0.512	0.567	0.619	0.438	0.805	0.927	0.566	0.819	0.797	0.884	0.613	
83	HDM-34	1.000	0.463	0.618	0.651	0.476	0.966	1.000	0.522	0.298	0.649	0.483	0.836	0.719	0.760	0.674	
84	HDM-35	0.758	0.522	0.436	0.173	0.513	0.754	0.836	0.419	0.376	0.756	0.466	0.719	0.826	0.811	0.597	
85	HDM-36	0.363	0.309	0.215	0.418	0.146	0.619	0.542	0.693	0.163	0.561	0.366	0.829	0.571	0.724	0.466	
86	HDM-37	0.459	0.473	0.449	0.587	0.745	0.650	0.618	0.602	0.298	0.743	0.552	0.884	0.798	0.923	0.627	
87	HDM-38	0.625	0.458	0.086	0.411	0.397	0.746	0.789	0.481	0.284	0.677	0.467	0.818	0.729	0.806	0.555	
88	HDM-39	0.764	0.324	0.556	0.851	0.639	0.891	0.739	0.832	0.324	0.876	0.439	0.806	0.759	0.555	0.668	
89	HDM-40	0.466	0.545	0.283	0.541	0.634	0.614	0.623	0.525	0.545	0.722	0.386	0.970	0.899	0.833	0.613	
90	HDM-41	0.259	0.000	0.206	0.484	0.628	0.344	0.337	0.520	0.444	0.742	0.488	0.806	0.783	0.788	0.488	
91	HDM-42	0.584	0.270	0.400	0.613	0.330	0.618	0.743	0.324	0.008	0.726	0.342	0.946	0.927	0.798	0.545	
92	HDM-46	0.170	0.535	0.401	0.203	0.109	0.418	0.269	0.875	0.504	0.679	0.474	0.886	0.491	0.492	0.465	
93	HDM-47	0.135	0.566	0.148	0.499	0.116	0.376	0.186	0.999	0.467	0.737	0.495	1.201	0.848	0.812	0.542	
94	HDM-48	0.103	0.379	0.438	0.345	0.148	0.256	0.119	0.861	0.493	0.777	0.505	0.791	0.780	0.818	0.487	
95	HG-1	0.564	0.339	0.571	0.448	0.391	0.714	0.685	0.603	0.159	0.655	0.587	0.745	0.672	0.720	0.561	
96	HG-2	0.017	0.480	0.355	0.814	0.029	0.065	0.018	0.579	0.493	0.777	0.505	0.791	0.780	0.818	0.466	

97	HG-3	0.663	0.499	0.265	0.482	0.094	0.622	0.727	0.358	0.279	0.656	0.439	0.795	0.705	0.765	0.525	
98	HG-4	0.209	0.410	0.308	0.662	0.096	0.299	0.301	0.491	0.279	0.687	0.461	0.811	0.732	0.819	0.469	
99	HG-5	0.438	0.572	0.304	0.606	0.105	0.678	0.545	0.810	0.248	0.660	0.462	0.844	0.699	0.817	0.556	
100	HG-6	0.097	0.391	0.355	0.683	0.008	0.273	0.139	0.851	0.302	0.765	0.486	0.836	0.762	0.761	0.479	
101	MEG-6	0.730	0.680	0.320	0.502	0.515	0.751	0.857	0.382	0.057	0.382	0.181	0.610	0.408	0.357	0.481	
102	XY-2	0.517	0.532	0.341	0.346	0.450	0.674	0.731	0.448	0.319	0.703	0.592	0.761	0.659	0.698	0.555	
103	XY-3	0.565	0.359	0.403	0.443	0.401	0.737	0.766	0.502	0.243	0.000	0.029	0.201	0.056	0.047	0.340	
104	XY-5	0.321	0.482	0.545	0.334	0.237	0.429	0.465	0.444	0.253	0.651	0.749	0.800	0.787	0.770	0.519	
105	XY-6	0.343	0.352	0.172	0.284	0.611	0.559	0.505	0.642	0.265	0.676	0.706	0.804	0.809	0.818	0.539	
106	XY-7	0.217	0.248	0.293	0.610	0.289	0.312	0.389	0.331	0.562	0.753	0.562	0.753	0.628	0.610	0.468	
107	XY-8	0.501	0.360	0.500	0.490	0.823	0.657	0.608	0.638	0.185	0.484	0.588	0.663	0.580	0.575	0.547	
108	XY-9	0.361	0.447	0.313	0.439	0.254	0.595	0.600	0.529	0.335	0.683	0.717	0.621	0.682	0.579	0.511	
109	XY-10	0.529	0.378	0.586	0.664	0.492	0.685	0.653	0.606	0.848	0.929	0.751	0.799	0.692	0.682	0.664	
110	XY-11	0.589	0.488	0.467	0.347	0.346	0.674	0.731	0.447	0.321	0.533	0.839	0.459	0.502	0.405	0.511	
111	XY-12	0.277	0.319	0.697	0.349	0.550	0.431	0.432	0.514	0.369	0.461	0.573	0.529	0.415	0.422	0.453	
112	XY-16	0.465	0.536	0.484	0.475	0.697	0.551	0.608	0.425	0.149	0.355	0.476	0.765	0.522	0.536	0.503	
113	XY-17	0.945	1.000	0.555	0.212	0.664	0.845	0.921	0.445	0.080	0.588	0.464	0.898	0.883	0.938	0.674	
114	XY-18	0.717	0.735	0.468	0.574	0.462	0.725	0.796	0.432	0.215	0.665	0.527	0.935	0.697	0.737	0.620	
115	XY-20	0.417	0.389	0.369	0.586	0.469	0.678	0.580	0.736	0.237	0.586	0.690	0.832	0.698	0.655	0.566	
116	XY-21	0.178	0.310	0.428	0.515	0.267	0.225	0.378	0.149	0.279	0.548	0.500	0.575	0.546	0.573	0.391	
117	XY-23	0.248	0.374	0.415	0.557	0.449	0.361	0.427	0.366	0.412	0.758	0.481	0.546	0.596	0.605	0.471	
118	XY-26	0.536	0.456	0.287	0.517	0.629	0.661	0.697	0.483	0.311	0.689	0.549	0.723	0.656	0.784	0.570	
119	XY-27	0.402	0.448	0.314	0.559	0.555	0.496	0.567	0.388	0.265	0.625	0.527	0.660	0.608	0.558	0.498	
120	XY-28	0.226	0.594	0.576	0.415	0.706	0.359	0.350	0.526	0.297	1.000	0.486	0.808	0.661	0.647	0.546	
121	XY-29	0.272	0.375	0.860	0.601	0.528	0.330	0.458	0.236	0.457	0.728	0.612	0.841	0.765	0.955	0.573	
122	XY-30	0.438	0.266	0.442	0.524	0.217	0.577	0.642	0.416	0.257	0.460	0.744	0.737	0.601	0.631	0.497	

123	XY-31	0.570	0.489	0.571	0.450	0.626	0.580	0.772	0.211	0.219	0.647	0.656	0.841	0.637	0.518	0.556
124	XY-34	0.372	0.429	0.330	0.541	0.518	0.512	0.550	0.455	1.000	0.840	0.417	0.469	0.412	0.382	0.516
125	XY-38	0.626	0.478	0.652	0.379	0.788	0.593	0.798	0.195	0.492	0.887	0.612	1.000	0.933	1.000	0.674
126	XY-39	0.378	0.841	0.249	0.698	0.399	0.499	0.532	0.462	0.536	0.640	0.561	0.600	0.531	0.541	0.533
127	XY-41	0.730	0.488	0.410	0.000	0.360	0.804	0.784	0.593	0.536	0.687	0.703	0.644	0.688	0.613	0.574
128	XY-42	0.449	0.473	0.254	0.675	0.452	0.595	0.619	0.492	0.915	0.881	1.000	0.803	0.808	0.847	0.662
129	XY-43	0.403	0.349	0.651	0.397	0.365	0.522	0.577	0.424	0.564	0.956	0.761	0.600	0.645	0.621	0.560
130	XY-44	0.424	0.541	0.452	0.401	0.574	0.630	0.576	0.648	0.603	0.706	0.610	0.671	0.571	0.673	0.577
131	XY-45	0.306	0.340	0.621	0.283	0.383	0.415	0.499	0.346	0.525	0.478	0.405	0.381	0.376	0.346	0.408
132	XY-46	0.262	0.404	0.769	0.283	0.188	0.381	0.406	0.454	0.280	0.928	0.790	0.783	0.627	0.624	0.513
133	XY-47	0.431	0.417	0.439	0.549	0.380	0.559	0.637	0.390	0.221	0.676	0.771	0.415	0.463	0.410	0.483
134	XY-48	0.529	0.431	0.520	0.240	0.443	0.740	0.729	0.572	0.091	0.557	0.566	0.901	0.752	0.763	0.560
135	XY-49	0.326	0.437	0.321	0.446	0.672	0.479	0.437	0.611	0.225	0.547	0.468	0.647	0.521	0.570	0.479
136	XY-51	0.345	0.529	0.328	0.731	0.417	0.524	0.538	0.503	0.209	0.682	0.645	1.002	1.000	0.993	0.603
137	XY-53	0.390	0.421	0.413	0.549	0.408	0.486	0.601	0.308	0.084	0.761	0.764	0.814	0.956	0.862	0.558
138	XY-54	0.240	0.470	0.373	0.735	0.472	0.330	0.423	0.303	0.745	0.811	0.928	0.549	0.506	0.515	0.529
139	XY-55	0.330	0.448	0.162	0.504	0.526	0.510	0.500	0.548	0.032	0.475	0.442	0.855	0.795	0.948	0.505
140	XY-56	0.825	0.444	0.345	0.231	0.351	0.829	0.912	0.431	0.329	0.543	0.639	0.544	0.427	0.576	0.530
141	XY-57	0.320	0.447	0.191	0.641	0.293	0.477	0.494	0.489	0.227	0.588	0.414	0.627	0.522	0.552	0.449
142	XY-58	0.541	0.347	0.291	0.687	0.661	0.654	0.689	0.483	0.124	0.673	0.644	0.760	0.695	0.680	0.566
143	XY-61	0.427	0.551	0.208	0.643	0.591	0.594	0.561	0.602	0.441	0.772	0.859	0.528	0.573	0.636	0.570
144	XY-62	0.434	0.902	0.160	0.741	0.339	0.513	0.615	0.339	0.469	0.704	0.602	0.612	0.524	0.548	0.536
145	XY-63	0.518	0.396	0.431	0.376	0.401	0.627	0.652	0.496	0.375	0.519	0.632	0.607	0.554	0.574	0.511
146	XY-65	0.476	0.649	0.296	0.559	0.370	0.570	0.615	0.452	0.422	0.611	0.617	0.609	0.539	0.561	0.525
147	XY-67	0.352	0.573	0.254	0.586	0.813	0.470	0.520	0.422	0.564	0.880	0.744	0.503	0.520	0.480	0.549
148	XY-68	0.508	0.468	0.228	0.579	0.242	0.795	0.650	0.827	0.200	0.816	0.693	0.687	0.622	0.545	0.562

149	XY-69	0.226	0.521	0.465	0.443	0.704	0.355	0.292	0.654	0.594	0.519	0.503	0.476	0.379	0.462	0.471
150	XY-75	0.226	0.523	0.175	0.439	0.691	0.168	0.385	0.001	0.321	0.768	0.511	0.684	0.630	0.649	0.441
151	XY-76	0.384	0.398	0.511	0.574	0.456	0.551	0.539	0.556	0.183	0.615	0.737	0.741	0.766	0.694	0.550
152	XY-77	0.267	0.290	0.508	0.798	0.616	0.410	0.391	0.554	0.671	0.841	0.821	0.682	0.714	0.694	0.590
153	XY-79	0.344	0.362	0.459	0.370	0.483	0.492	0.509	0.491	0.367	0.570	0.371	0.729	0.630	0.649	0.488
154	XY-82	0.417	0.597	0.055	0.443	0.678	0.519	0.573	0.427	0.159	0.518	0.510	0.782	0.629	0.658	0.498
155	XY-85	0.418	0.396	0.452	0.570	0.396	0.532	0.532	0.532	0.159	0.337	0.299	0.649	0.477	0.499	0.446
156	XY-87	0.337	0.476	0.159	0.412	0.654	0.594	0.492	0.745	0.048	0.395	0.352	0.666	0.521	0.528	0.456
157	XY-89	0.525	0.650	0.243	0.504	0.716	0.543	0.650	0.337	0.253	0.516	0.890	0.837	0.851	0.804	0.594
158	XY-90	0.265	0.259	0.430	0.543	0.430	0.410	0.428	0.475	0.327	0.843	0.778	0.699	0.711	0.757	0.526
159	XY-95	0.324	0.358	0.359	0.587	0.250	0.461	0.513	0.417	0.171	0.596	0.513	0.818	0.765	0.712	0.489
160	苹果王-1	0.181	0.413	0.540	0.564	0.541	0.258	0.282	0.432	0.029	0.576	0.415	0.954	0.924	0.869	0.499